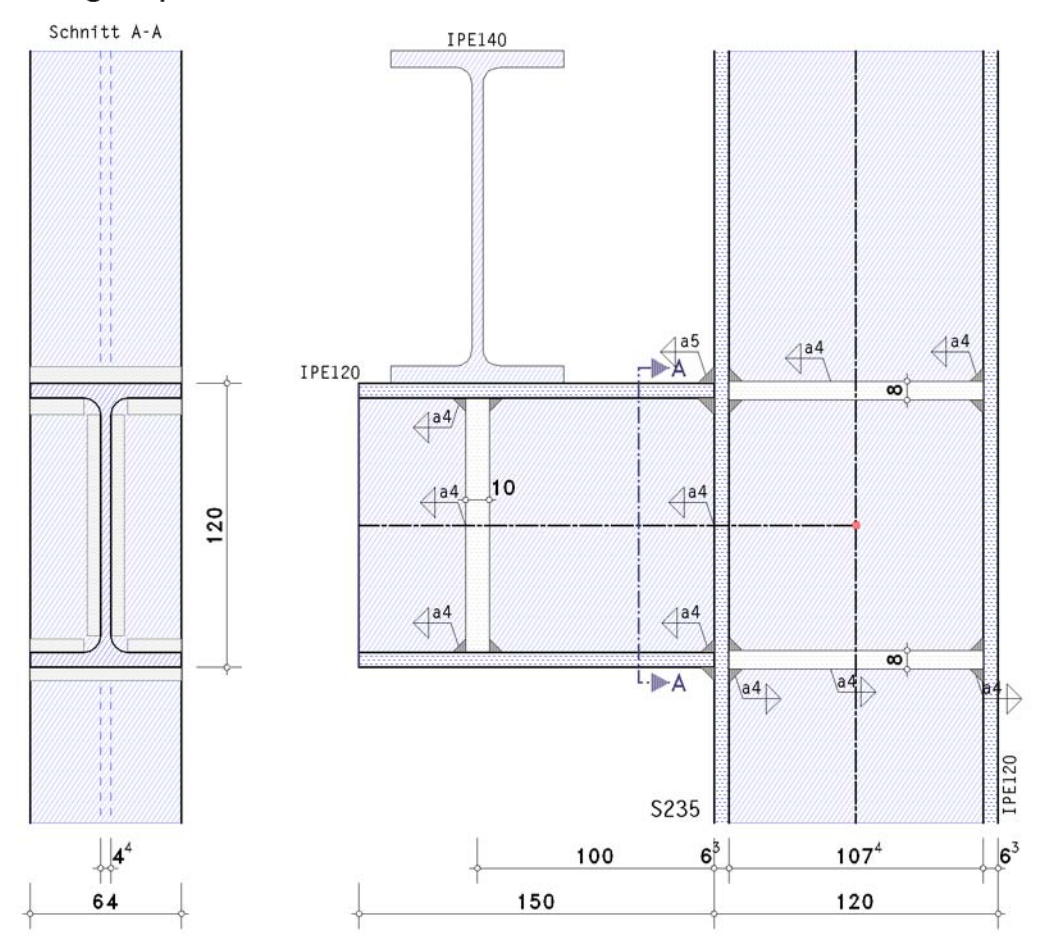
POS. 26: LI / GESCHWEISST / LASTTRÄGER / STEIFEN

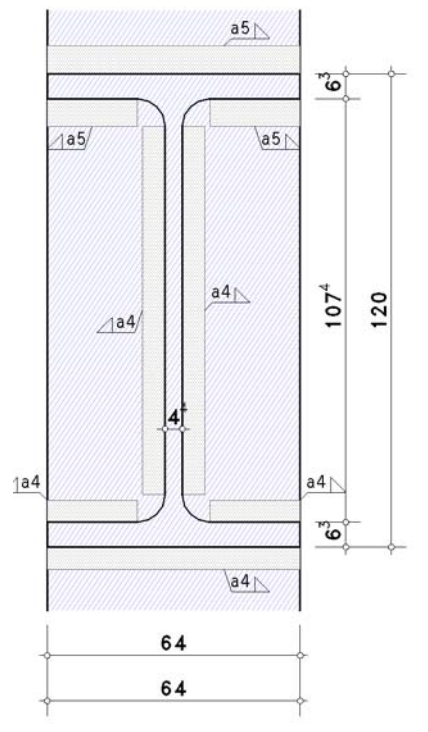
4H-EC3SK Version: 6/2025-1b

Konsole EC 3-1-8 (12.10), NA: Deutschland

1. Eingabeprotokoll



Details (Schnitt A - A)



Stahlsorte Stahlgüte S235 Parameter der Stütze Profil IPE120

Verstärkung des Profils durch Quersteifen (Stegsteifen in Höhe von Trägerzug- und -druckflansch, det = 113.7 mm):

Dicke t_{st} = 8.0 mm, Breite b_{st} = 29.8 mm, Länge l_{st} = 107.4 mm

Aussparung an den Steifen cst = 10.5 mm

Schweißnähte ast,f = 4.0 mm, ast,w = 4.0 mm

Parameter des Trägers

Profil IPE120

Verstärkung des Profils durch Quersteifen:

Dicke t_{st} = 10.0 mm, Breite b_{st} = 29.8 mm, Länge l_{st} = 107.4 mm

Aussparung an den Steifen cst = 10.5 mm Schweißnähte ast,f = 4.0 mm, ast,w = 4.0 mm

Schweißnähte

Trägerflansch oben: Kehlnaht, Nahtdicke a = 5.0 mm

Trägersteg: Kehlnaht, Nahtdicke a = 4.0 mm

Trägerflansch unten: Kehlnaht, Nahtdicke a = 4.0 mm 75% der Druckspannung wird über Kontakt abgetragen

Parameter der Verbindung

geschweißter Anschluss

Abstand der Querbelastung $\Delta a = 100.0 \text{ mm}$

Nachweis der Lasteinleitung:

Querbelastung auf dem Obergurt der Konsole aus einem Lastträger (Trägerkreuzung) Profil IPE140

Nachweis der Ermüdung:

Schadensäquivalenzfaktoren $\lambda_{\sigma} = 1.000$, $\lambda_{\tau} = 1.000$

Ermittlung der Tragfähigkeiten

Nachweis der Konsole-Stützenverbindung, Grenzzustand der Tragfähigkeit (GZT)

Nachweis der Lasteinleitung, Trägerkreuzung, Grenzzustand der Tragfähigkeit (GZT)

Ermüdungsnachweise der Verbindung sowie des Konsolprofils, Grenzzustand der Ermüdung (GZE)

Konsolbelastung und Schnittgrößen im Schnittpunkt der Systemachsen (GZT)

Lk	F2,Ed
	kΝ
1	40.00

F2.Ed: Belastung der Konsole

Konsolbelastung (GZE)

Lk	F2,Ed
	kΝ
1	5.00
2	15.00

F_{2,Ed}: Belastung der Konsole

Materialsicherheitsbeiwerte (GZT)

Beanspruchbarkeit von Querschnitten $\gamma_{M0} = 1.00$

Beanspruchbarkeit von Bauteilen bei Stabilitätsversagen γ_{M1} = 1.10

Beanspruchbarkeit von Schrauben, Schweißnähten, Blechen auf Lochleibung γм2 = 1.25

Materialsicherheitsbeiwert (GZE)

Bemessungskonzept: Schadenstoleranz, Schadensfolgen: hoch ⇒ Ermüdungsfestigkeit γMf = 1.15

Nachweise

2.1. Ergebnistabelle (GZT)

2.1.1. Ausnutzungen

Lk	Uj	U1	Uj,b	Uj,σ	$U_{ exttt{j,} au}$	Uj,w	Uj,r	U1,σ	U1,r	U
1	0.640	0.512	0.640	0.428	0.501	0.369	0.375	0.512	0.356	0.640*

Uį: res. Ausnutzung aus Träger-Stütze-Anschluss; Uį: res. Ausnutzung aus Lasteinleitung; Uį,b: Querschnittsausnutzung Träger

Uj̇̃,ວ: Ausnutzung aus Biegung; Uj͵τ: Ausnutzung aus Querkraft; Uj͵w: Ausnutzung aus Schweißnaht

 $\mathsf{U}_{!,!}$: Ausnutzung aus Steifen/Rippen; $\mathsf{U}_{!,\sigma}$: Ausnutzung aus Spannungen am Steganschnitt; $\mathsf{U}_{!,r}$: Ausnutzung aus Rippen

U: Ausnutzung der Verbindung

*) maximale Ausnutzung

2.2. Anschluss an die Stütze (GZT)

Biegesteifer Trägeranschluss EC 3-1-8 (12.10), NA: Deutschland

Datencheck

ok

2.2.1. Ergebnistabelle

Ausnutzung

,	ia Learing						
Lk	Uσ,b	Um	U_{wp}	U_{cf}	U_{sb}	Uss	U
1	0.640	0.428	0.428	0.501	n 369	0 375	0 640*

 $U_{\sigma,b}$: Spannungsausnutzung am Träger; U_m : Ausnutzung aus Biegung; U_{wp} : Ausnutzung aus Schub im Stützensteg $m U_{cl}$: Ausnutzung aus Schub im Stützenflansch; $m U_{sb}$: Ausnutzung aus Schweißnaht; $m U_{ss}$: Ausnutzung aus Steifen/Rippen U: Ausnutzung der Verbindung



2.2.2. Endergebnis

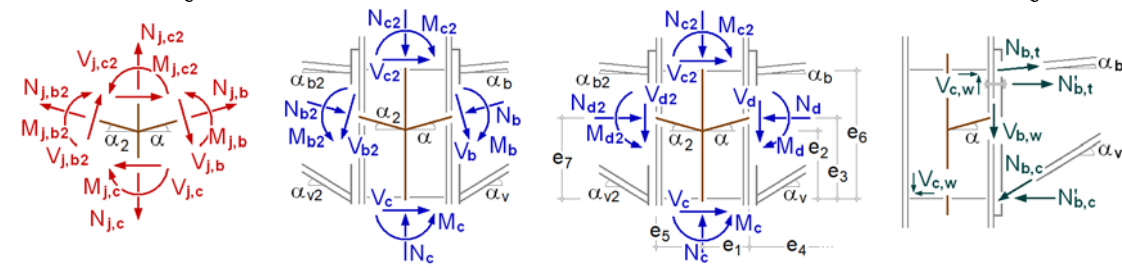
Maximale Ausnutzung: max U = 0.640 < 1 ok

2.2.3. Lk 1 (maßgebend)

2.2.3.1. Bemessungsgrößen

Knotenschnittgrößen Anschnitt Anschluss ⊥ zur Anschlussebene

Teilschnittgrößen



Neigungswinkel: $\alpha_b = \alpha = \alpha_V = 0^\circ$

Abstände: $e_1 = 60.0 \text{ mm}$, $e_3 = 56.8 \text{ mm}$, $e_2 = 56.8 \text{ mm}$, $e_6 = 113.7 \text{ mm}$

Schnittgrößen senkrecht zu den Anschlussebenen

Anschnitt Träger

 $M_d = 4.00 \ kNm, \ V_d = 40.00 \ kN$

Teilschnittgrößen

 $N_{b,t} = -N_{d} \cdot z_{bu}/z_b + M_{d}/z_b = 35.18 \text{ kN}, z_b = 113.7 \text{ mm}, z_{bu} = 56.9 \text{ mm}$ $N_{b,c} = N_d \cdot z_{bo}/z_b + M_d/z_b = 35.18 \ kN, \ z_b = 113.7 \ mm, \ z_{bo} = 56.9 \ mm$ $V_{b,t} = -N_{b,t} \cdot \sin(\alpha_b) = 0.00 \text{ kN}, \ V_{b,c} = N_{b,c} \cdot \sin(\alpha_v) = 0.00 \text{ kN}, \ V_{b,w} = V_d - V_{b,t} - V_{b,c} = 40.00 \text{ kN}$

2.2.3.2. Querschnittstragfähigkeit im Anschnitt

elastischer Spannungsnachweis für My = -4.00 kNm, Vz = 40.00 kN Nachweis: $\sigma_V = 150.35 \text{ N/mm}^2 < \sigma_{V,Rd} = 235.00 \text{ N/mm}^2 \Rightarrow U_{\sigma} = 0.640 < 1 \text{ ok}$ c/t-Verhältnis: einseitig gestützt: Ausnutzung Uc/t = 0.145 < 1 ok beidseitig gestützt: Ausnutzung Uc/t = 0.086 < 1 ok

2.2.3.3. Anschlusstragfähigkeit

Übertragungsparameter: $\beta_j = 1.00$

2.2.3.3.1. Biegetragfähigkeit

Abstand der Zugkraft vom Druckpunkt: z = 113.7 mm

Tragfähigkeit

 $F_{Rd} = 82.2 \text{ kN}$

Tragfähigkeit der Flansche (Druck)

 $\Sigma F_{c,Rd}^* = 164.5 \text{ kN}$

Biegetragfähigkeit

 $M_{j,Rd} = F_{Rd} \cdot z = 9.4 \text{ kNm}$ Zugtragfähigkeit $N_{i,t,Rd} = F_{t,Rd} = 120.3 \text{ kN}$

Drucktragfähigkeit

 $N_{j,c,Rd} = \Sigma F_{c,Rd}^* = 164.5 \text{ kN}$

2.2.3.3.2. Schubtragfähigkeit

Schubtragfähigkeit des Stützenflanschs $V_{cf,Rd} = 79.84 \text{ kN}$

Schubtragfähigkeit des Stützenstegs

 $V_{wp,Rd} = 82.2 \text{ kN}$

 $M_{i,Rd} = 9.4 \text{ kNm} \quad N_{i,t,Rd} = 120.3 \text{ kN} \quad N_{i,c,Rd} = 164.5 \text{ kN} \quad V_{wp,Rd} = 82.2 \text{ kN} \quad V_{cf,Rd} = 79.8 \text{ kN}$

2.2.3.4. Nachweise

2.2.3.4.1. Nachweis der Anschlusstragfähigkeit mit der Komponentenmethode

Biegemoment: MEd = Md = 4.00 kNmQuerkraft: VEd = |Vd| = 40.00 kN

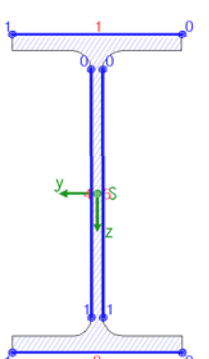
Schubkraft: $V_{c,w,Ed} = M_d/z - (V_{c1}-V_{c2})/2 = 35.18 \text{ kN}, z = 113.7 \text{ mm}$

Schubkraft: V_{b,w,Ed} = 40.00 kN

 $\begin{array}{lll} \text{MEd/Mj,Rd} = 0.428 \, < \, 1 & \text{ok} \\ \text{Vc,w,Ed/Vwp,Rd} = 0.428 \, < \, 1 & \text{ok} \\ \text{Vb,w,Ed/Vcf,Rd} = 0.501 \, < \, 1 & \text{ok} \\ \end{array}$

2.2.3.4.2. Nachweis der Schweißnähte am Trägerprofil

```
Naht 1: Trägerflansch mit Zug außen Nähte 2,3: Trägerflansch mit Zug innen Nähte 4,5: Trägersteg beidseitig Naht 8: Trägerflansch mit Druck außen Nähte 6,7: Trägerflansch mit Druck innen Naht 1: Nahtdicke a=5.0 \text{ mm} > a_{\text{max}} = 0.7 \cdot t_{\text{min}} = 4.4 \text{ mm} (Schweisstechnik, s. DIN 18800) !! Naht 2: Nahtdicke a=5.0 \text{ mm} > a_{\text{max}} = 0.7 \cdot t_{\text{min}} = 4.4 \text{ mm} (Schweisstechnik, s. DIN 18800) !! Naht 2: wirksame Nahtlänge l_{\text{eff}} = 22.8 \text{ mm} < 30 \text{ mm} \Rightarrow statisch nicht wirksam} !! Naht 2: wirksame Nahtlänge l_{\text{eff}} = 22.8 \text{ mm} < 6 \cdot a = 30.0 \text{ mm} \Rightarrow statisch nicht wirksam} !! Naht 4: Nahtdicke a=4.0 \text{ mm} > a_{\text{max}} = 0.7 \cdot t_{\text{min}} = 3.1 \text{ mm} (Schweisstechnik, s. DIN 18800) !! Naht 6: wirksame Nahtlänge l_{\text{eff}} = 22.8 \text{ mm} < 30 \text{ mm} \Rightarrow statisch nicht wirksam} !! Naht 6: wirksame Nahtlänge l_{\text{eff}} = 22.8 \text{ mm} < 6 \cdot a = 24.0 \text{ mm} \Rightarrow statisch nicht wirksam} !! Berechnungsquerschnitt:
```



Naht 1: $a_W = 5.0 \text{ mm}$ $l_W = 64.0 \text{ mm}$ Naht 4: $a_W = 4.0 \text{ mm}$ $l_W = 93.4 \text{ mm}$

Naht 5: siehe Naht 4

Naht 8: $a_w = 4.0 \text{ mm}$ $l_w = 64.0 \text{ mm}$

Bemessungsgrößen bezogen auf den Schwerpunkt des Profils:

 $M_{y,Ed} = -4.00 \text{ kNm}, \ V_{z,Ed} = 40.00 \text{ kN}$

Querschnittswerte bezogen auf den Schwerpunkt des Linienquerschnitts:

```
\Sigma A_W = 13.23 \text{ cm}^2, \ A_{W,z} = 7.47 \text{ cm}^2, \ \Sigma I_W = 31.5 \text{ cm} \\ I_{W,y} = 260.56 \text{ cm}^4, \ I_{W,z} = 20.02 \text{ cm}^4, \ \Delta z_W = -2.9 \text{ mm}
```

Nachweise in den Endpunkten der Nähte:

75% Spannungsabtrag über Druckkontakt

2.2.3.4.3. Nachweis der Stegsteifen

Drucksteife (unten)

Fc,Ed = 36.29 kN

Kräfte je Rippe

F = 0.5·Fc,Ed · (bf-2·r-tw)/bf = 12.93 kN, H = F · eF/eH = 2.43 kN Voraussetzung: Steifen nicht beulgefährdet: Q-Klasse 1 ≤ 3 ok

Querschnitt am Flansch

Drucktragfähigkeit $N_{c,Rd}$ = $(A \cdot f_y)$ / γ_{M0} = 36.28 kN Bemessungsgröße: F_{Ed} = $(F^2 + 3 \cdot H^2)^{1/2}$ = 13.59 kN F_{Ed} = 13.59 kN < F_{Rd} = 36.28 kN \Rightarrow U = 0.375 < 1 ok

Querschnitt am Steg

Schubtragfähigkeit $V_{Rd} = (A_v \cdot f_y) / (3^{1/2} \cdot \gamma_{M0}) = 93.78 \text{ kN}$

Bemessungsgröße: FEd = F = 12.93 kN

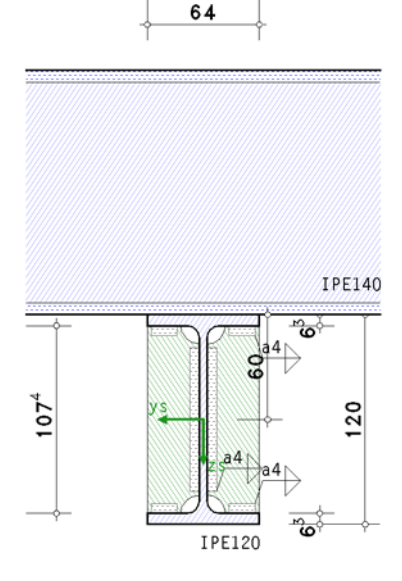
```
F_{Ed} = 12.93 \text{ kN} < F_{Bd} = 93.78 \text{ kN} \implies U = 0.138 < 1 \text{ ok}
Schweißnähte am Flansch
Bemessungsgrößen: F_{Ed}(\sigma_s) = F / (2 \cdot b_1) = 334.92 \text{ kN/m}, F_{Ed}(\tau_p) = H / (2 \cdot b_1) = 62.84 \text{ kN/m}, b_1 = 19.3 \text{ mm}
75% Spannungsabtrag über Druckkontakt
\sigma_{1,w,Ed} = 22.01 \text{ N/mm}^2 < f_{1w,d} = 360.00 \text{ N/mm}^2 \Rightarrow U = 0.061 < 1 \text{ ok}
\sigma_{2,w,Ed} = 20.93 \text{ N/mm}^2 < f_{2w,d} = 259.20 \text{ N/mm}^2 \implies U = 0.081 < 1 \text{ ok}
Schweißnähte am Steg
Bemessungsgröße: F_{Ed}(\tau_p) = F / (2 \cdot l_1) = 74.81 \text{ kN/m}, l_1 = 86.4 \text{ mm}
75% Spannungsabtrag über Druckkontakt
Nahtdicke a = 4.0 mm > a<sub>max</sub> = 0.7·t<sub>min</sub> = 3.1 mm (Schweisstechnik, s. DIN 18800) !!
\sigma_{1,w,Ed} = 8.10 \ N/mm^2 \ < \ f_{1w,d} = 360.00 \ N/mm^2 \ \Rightarrow \ U = 0.022 \ < \ 1 \ ok
Zugsteife (oben)
F_{t,Ed} = 36.29 \text{ kN}
Kräfte je Rippe
F = 0.5 \cdot F_{t,Ed} \cdot (b_{f-2} \cdot r - t_{w})/b_{f} = 12.93 \text{ kN}, H = F \cdot e_{F}/e_{H} = 2.43 \text{ kN}
Querschnitt am Flansch
Zugtragfähigkeit Nt,Rd = 36.28 kN
Bemessungsgröße: F_{Ed} = (F^2 + 3 \cdot H^2)^{1/2} = 13.59 \text{ kN}
F_{Ed} = 13.59 \text{ kN} < F_{Rd} = 36.28 \text{ kN} \implies U = 0.375 < 1 \text{ ok}
Querschnitt am Steg
Schubtragfähigkeit V_{Rd} = (A_v \cdot f_y) / (3^{1/2} \cdot \gamma_{M0}) = 93.78 \text{ kN}
Bemessungsgröße: F_{Ed} = F = 12.93 \text{ kN}
F_{Ed} = 12.93 \text{ kN} < F_{Rd} = 93.78 \text{ kN} \implies U = 0.138 < 1 \text{ ok}
Schweißnähte am Flansch
Bemessungsgrößen: F_{Ed}(\sigma_8) = F / (2 \cdot b_1) = 334.92 \text{ kN/m}, F_{Ed}(\tau_p) = H / (2 \cdot b_1) = 62.84 \text{ kN/m}, b_1 = 19.3 \text{ mm}
\sigma_{\text{1,w,Ed}} = 88.04 \ N/mm^2 \ < \ f_{\text{1w,d}} = 360.00 \ N/mm^2 \ \Rightarrow \ U = 0.245 \ < \ 1 \ \ \text{ok}
\sigma_{2,w,\text{Ed}} = 83.73 \ N/mm^2 \ < \ f_{2w,d} = 259.20 \ N/mm^2 \ \Rightarrow \ U = 0.323 \ < \ 1 \ ok
Schweißnähte am Steg
Bemessungsgröße: F_{Ed}(\tau_p) = F / (2 \cdot l_1) = 74.81 \text{ kN/m}, l_1 = 86.4 \text{ mm}
Nahtdicke a = 4.0 mm > a<sub>max</sub> = 0.7·t<sub>min</sub> = 3.1 mm (Schweisstechnik, s. DIN 18800) !!
\sigma_{1,w,Ed} = 32.40 \text{ N/mm}^2 < f_{1w,d} = 360.00 \text{ N/mm}^2 \implies U = 0.090 < 1 \text{ ok}
```

2.2.3.4.4. Nachweisergebnis

Maximale Ausnutzung: max U = 0.640 < 1 ok

2.3. Lasteinleitung in die Konsole (GZT)

Sonderprobleme nach Eurocode 3 EC 3-1-5 (10.19), NA: Deutschland



Voraussetzung: Flanschinduziertes Stegbeulen ist ausgeschlossen.

Voraussetzung: Platten-/Schubbeulen ist ausgeschlossen.

Voraussetzung: Quersteifen dienen als starre Lagerung des Blechfelds.

Voraussetzung: Lokales Beulen der Steifen ist ausgeschlossen.

2.3.1. Ergebnistabelle

Lk	Fz,Ed	V Ed	Ur	U_{σ}	U
	kN	kN			
1	40.00	40.00	0.356	0.512	0.512*

F_{z,Ed}: vertikale Einzellast aus einem Lastträger; V_{Ed}: Bemessungsgrößen im Querschnitt; U_r: Ausnutzung aus Rippen U_{σ} : Ausnutzung aus Spannungen am Steganschnitt; U: Ausnutzung aus Lasteinleitung *) maximale Ausnutzung

2.3.2. Endergebnis

Maximale Ausnutzung [Lk 1]: max U = 0.512 < 1 ok

2.3.3. Lk 1 (maßgebend)

Querschnittswerte: $A = 13.21 \text{ cm}^2$, $z_s = 60.0 \text{ mm}$, $l_v = 317.76 \text{ cm}^4$, $y_s = 0.0 \text{ mm}$, $l_z = 27.67 \text{ cm}^4$

Lasteinzugsbreite durch den Träger ss' = 2·tf + tw + 1.172·r = 25.2 mm

Lasteinzugslänge durch den Lastträger ss = 2·tf + tw + 1.172·r = 26.7 mm

Zur Info: Lagerpressung Fz,Ed,GZT/(Ss·Ss') = 59.44 N/mm²

wirksame Lasteinleitungslänge leff = ss + 2·tf = 39.3 mm

Länge der starren Lasteinleitung:

bezogen auf die Flanschaußenkante ss = leff - 2·tf = 26.7 mm / auf den Steganschnitt sw = leff + 2·r = 53.3 mm

2.3.3.1. Stegpressung (GZT)

zulässige Spannungen: $\sigma_{Rd} = f_y/\gamma_{M0} = 235.0 \text{ N/mm}^2$, $\tau_{Rd} = f_y/(3^{1/2}.\gamma_{M0}) = 135.7 \text{ N/mm}^2$

Lastübertragung durch Quersteifen (Rippen):

Kräfte je Rippe

 $F = 0.5 \cdot F_{c,Ed} \cdot (b_{f-2} \cdot r \cdot t_{w})/b_{f} = 14.25 \text{ kN}, H = F \cdot e_{F}/e_{H} = 2.67 \text{ kN}$

Steglastanteil Fc,Ed - 2·F = 11.50 kN

Voraussetzung: Steifen nicht beulgefährdet: Q-Klasse 1 ≤ 3 ok

Hinweis: b_R > 25.8 mm ⇒ Umschweißung nicht möglich, auf Korrosionsschutz achten !!

Querschnitt am Flansch

Drucktragfähigkeit Nc,Rd = (A·fy) / γM0 = 45.36 kN

Bemessungsgröße: $F_{Ed} = (F^2 + 3 \cdot H^2)^{1/2} = 14.98 \text{ kN}$

 $F_{Ed} = 14.98 \text{ kN} < F_{Rd} = 45.36 \text{ kN} \implies U = 0.330 < 1 \text{ ok}$

Querschnitt am Steg

Schubtragfähigkeit $V_{Rd} = (A_v \cdot f_y) / (3^{1/2} \cdot \gamma_{M0}) = 117.23 \text{ kN}$

Bemessungsgröße: Fed = F = 14.25 kN

 $F_{Ed} = 14.25 \text{ kN} < F_{Rd} = 117.23 \text{ kN} \implies U = 0.122 < 1 \text{ ok}$

Schweißnähte am Flansch

Bemessungsgrößen: $F_{Ed}(\sigma_s) = F / (2 \cdot b_1) = 369.17 \text{ kN/m}, F_{Ed}(\tau_p) = H / (2 \cdot b_1) = 69.26 \text{ kN/m}, b_1 = 19.3 \text{ mm}$

 $\sigma_{1,w,Ed} = 97.04 \text{ N/mm}^2 < f_{1w,d} = 360.00 \text{ N/mm}^2 \Rightarrow U = 0.270 < 1 \text{ ok}$

 $\sigma_{2,w,Ed} = 92.29 \text{ N/mm}^2 < f_{2w,d} = 259.20 \text{ N/mm}^2 \Rightarrow U = 0.356 < 1 \text{ ok}$

Schweißnähte am Steg

Bemessungsgröße: $F_{Ed}(\tau_p) = F / (2 \cdot l_1) = 82.47 \text{ kN/m}, l_1 = 86.4 \text{ mm}$

Nahtdicke a = 4.0 mm > a_{max} = 0.7·t_{min} = 3.1 mm (Schweisstechnik, s. DIN 18800) !!

 $\sigma_{1,w,Ed} = 35.71 \text{ N/mm}^2 < f_{1w,d} = 360.00 \text{ N/mm}^2 \Rightarrow U = 0.099 < 1 \text{ ok}$

Gesamt: Ausnutzung der Rippen UR = 0.356 < 1 ok

Einzellastpressung am Steganschnitt:

reduzierte Querbelastung Fz,Ed = 11.5 kN

lokale Spannungen σoz,Ed = -49.0 N/mm²

 $|\sigma_{oz,Ed}| = 49.0 \text{ N/mm}^2 < \sigma_{Rd} = 235.0 \text{ N/mm}^2 \implies U = 0.209 < 1 \text{ ok}$

Spannungen am Steganschnitt:

reduzierte Querbelastung Fz,Ed = 11.5 kN

 $Lk 1: V_{z,Ed} = 40.0 kN$

Spannungen txz,Ed = 63.4 N/mm²

 $|\tau_{XZ,Ed}| = 63.4 \text{ N/mm}^2 < \tau_{Rd} = 135.7 \text{ N/mm}^2 \Rightarrow U = 0.468 < 1 \text{ ok}$

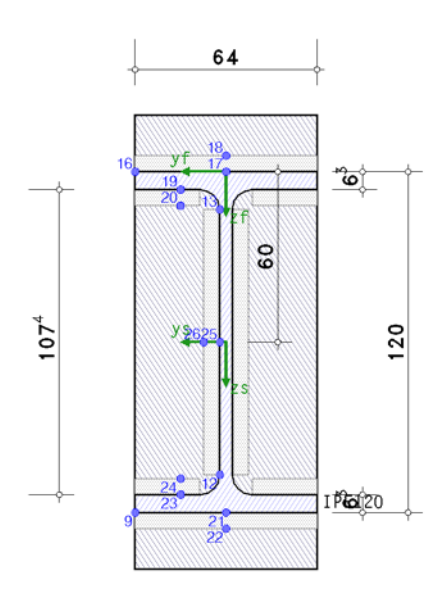
 $\sigma_V = 120.3 \text{ N/mm}^2 < \sigma_{Rd} = 235.0 \text{ N/mm}^2 \implies U = 0.512 < 1 \text{ ok}$

Ausnutzung am Steganschnitt max $U_{\sigma} = 0.512 < 1$ ok

Maximale Ausnutzung: max U = 0.512 < 1 ok

2.4. Ermüdung der Verbindung Konsole-Stütze (GZE)

Sonderprobleme nach Eurocode 3 EC 3-1-9 (12.10), NA: Deutschland



Kerbfälle / zul. Kerbspannungen bei N = 2·10⁶ Schwingspielen:

Pkt	Уf	Zf	∆o x,Rd	Δau Rd	∆orz,Rd	Kerbpunkt	EC 3-1-9, Tab.
	mm	mm	N/mm²	N/mm²	N/mm²		
9	32.0	120.0	160.0	0.0	0.0	am Untergurt	8.1(2)
12	2.2	106.7	160.0	100.0	0.0	am Trägersteg	8.1(2) 8.1(6)
13	2.2	13.3	160.0	100.0	160.0	am Trägersteg	8.1(2) 8.1(6) 8.10(1)
16	32.0	0.0	160.0	0.0	0.0	am Obergurt	8.1(2)
° 17	0.0	0.0	36.0	0.0	0.0	am Blech (Obergurt)	8.5(3)
18	0.0	-5.7	80.0	0.0	0.0	am Blech (Obergurt)	8.5(1)
° 19	16.0	6.3	36.0	0.0	0.0	am Blech (Obergurt)	8.5(3)
20	16.0	12.0	80.0	0.0	0.0	am Blech (Obergurt)	8.5(1)
° 21	0.0	120.0	36.0	0.0	0.0	am Blech (Untergurt)	8.5(3)
22	0.0	125.7	80.0	0.0	0.0	am Blech (Untergurt)	8.5(1)
° 23	16.0	113.7	36.0	0.0	0.0	am Blech (Untergurt)	8.5(3)
24	16.0	108.0	80.0	0.0	0.0	am Blech (Untergurt)	8.5(1)
° 25	2.2	60.0	36.0	80.0	0.0	am Blech (Steg)	8.5(3) 8.5(8)
26	7.9	60.0	0.0	100.0	0.0	am Blech (Steg)	8.2(5)

°: Nachweis der Schweißnaht

Belastung

Lk 1: $M_{y,Ed} = -0.50 \text{ kNm}, V_{z,Ed} = 5.00 \text{ kN}$ Lk 2: $M_{y,Ed} = -1.50 \text{ kNm}, V_{z,Ed} = 15.00 \text{ kN}$

2.4.1. Ermüdungsnachweis

Querschnittswerte: $A = 13.21 \text{ cm}^2$, $z_s = 60.0 \text{ mm}$, $l_y = 317.76 \text{ cm}^4$, $y_s = 0.0 \text{ mm}$, $l_z = 27.67 \text{ cm}^4$

Spannungsschwingbreiten:

Pkt. 21: $y_f = 0.0 \text{ mm}, z_f = 120.0 \text{ mm}$ $\Delta \sigma_{x,Ed} = 20.9 \text{ N/mm}^2$

Spannungsschwingbreiten infolge Ermüdung:

Pkt. 21: $y_f = 0.0 \text{ mm}, z_f = 120.0 \text{ mm}$ $\Delta \sigma_{x,f} = 20.9 \text{ N/mm}^2$

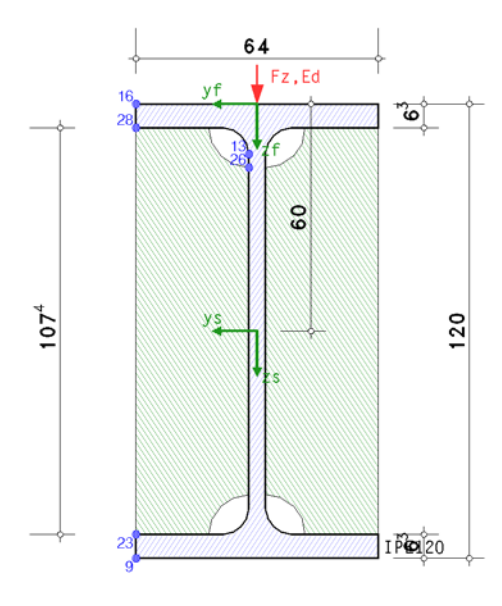
Nachweis der Kerbspannungen:

 $\Delta \sigma_{x,f} = 20.9 \text{ N/mm}^2 < \Delta \sigma_{x,Rd,f} = 31.3 \text{ N/mm}^2 \Rightarrow U_{\Delta \sigma x} = 0.667 \text{ ok}$ Pkt. 21: y = 0.0 mm, z = 120.0 mm

Ermüdungsnachweis [Pkt. 21]: max U = 0.667 < 1 ok

2.5. Ermüdung des Konsolprofils (GZE)

Sonderprobleme nach Eurocode 3 EC 3-1-9 (12.10), NA: Deutschland



Kerbfälle / zul. Kerbspannungen bei N = 2·10⁶ Schwingspielen:

Pkt	Уf	Zf	Δσ x,Rd	∆τ Rd	∆ σz,Rd	Kerbpunkt	EC 3-1-9, Tab.
	mm	mm	N/mm^2	N/mm^2	N/mm²		
9	32.0	120.0	160.0	0.0	0.0	am Untergurt	8.1(2)
13	2.2	13.3	160.0	100.0	160.0	am Trägersteg	8.1(2) 8.1(6) 8.10(1)
16	32.0	0.0	160.0	0.0	0.0	am Obergurt	8.1(2)
23	32.0	113.7	80.0	0.0	0.0	infolge Quersteife	8.4(7)
26	2.2	16.8	0.0	100.0	0.0	infolge Quersteife	8.1(6)
28	32.0	6.3	80.0	0.0	0.0	infolge Quersteife	8.4(7)

Belastung

Lk 1: $V_{z,Ed} = 5.00 \text{ kN}$ Lk 2: $V_{z,Ed} = 15.00 \text{ kN}$

Querbelastung auf dem Obergurt: vertikale Einzellast Fz,Ed = 15.0 kN

2.5.1. Ermüdungsnachweis

Querschnittswerte: $A = 13.21 \text{ cm}^2$, $z_s = 60.0 \text{ mm}$, $l_y = 317.76 \text{ cm}^4$, $y_s = 0.0 \text{ mm}$, $l_z = 27.67 \text{ cm}^4$

wirksame Lasteinleitungslänge leff = s_s + $2 \cdot t_f$ = 39.3 mm ... am Trägersteg σ_{oz} = -64.0 N/mm², τ_o = 12.8 N/mm²

Spannungsschwingbreiten:

Pkt. 13: $y_f = 2.2 \text{ mm}, z_f = 13.3 \text{ mm}$ $\Delta \tau_{Ed} = 43.8 \text{ N/mm}^2$ $\Delta \sigma_{z,Ed} = 64.0 \text{ N/mm}^2$

Spannungsschwingbreiten infolge Ermüdung:

Pkt. 13: $y_f = 2.2 \text{ mm}, z_f = 13.3 \text{ mm}$ $\Delta \tau_f = 43.8 \text{ N/mm}^2$ $\Delta \sigma_{z,f} = 64.0 \text{ N/mm}^2$

Nachweis der Kerbspannungen:

Pkt. 13: y = 2.2 mm, z = 13.3 mm $\Delta \tau_f = 43.8 \text{ N/mm}^2 < \Delta \tau_{Rd,f} = 87.0 \text{ N/mm}^2 \Rightarrow U_{\Delta \tau} = 0.504 \text{ ok}$ $\Delta \sigma_{z,f} = 64.0 \text{ N/mm}^2 < \Delta \sigma_{z,Rd,f} = 139.1 \text{ N/mm}^2 \Rightarrow U_{\Delta \sigma z} = 0.460 \text{ ok}$

Ermüdungsnachweis [Pkt. 13]: max U = 0.504 < 1 ok

3. Endergebnis

Maximale Ausnutzung: max U = 0.667 < 1 ok

Ermüdung der Verbindung / des Profils

Nachweis erbracht

4. Vorschriften

EN 1990, Eurocode 0: Grundlagen der Tragwerksplanung; Deutsche Fassung EN 1990:2002 + A1:2005 + A1:2005/AC:2010, Ausgabe Dezember 2010 EN 1990/NA, Nationaler Anhang zur EN 1990, Ausgabe Dezember 2010

EN 1993-1-1, Eurocode 3: Bemessung und Konstruktion von Stahlbauten - Teil 1-1: Allgemeine Bemessungsregeln und Regeln für den Hochbau; Deutsche Fassung EN 1993-1-1:2005 + AC:2009, Ausgabe Dezember 2010 EN 1993-1-1/A1, Ergänzungen zur EN 1993-1-1, Ausgabe Juli 2014

EN 1993-1-1/NA, Nationaler Anhang zur EN 1993-1-1, Ausgabe Dezember 2018

EN 1993-1-8, Eurocode 3: Bemessung und Konstruktion von Stahlbauten -Teil 1-8: Bemessung von Anschlüssen; Deutsche Fassung EN 1993-1-8:2005 + AC:2009, Ausgabe Dezember 2010 EN 1993-1-8/NA, Nationaler Anhang zur EN 1993-1-8, Ausgabe Dezember 2010

EN 1993-1-5, Eurocode 3: Bemessung und Konstruktion von Stahlbauten - Teil 1-5: Plattenförmige Bauteile; Deutsche Fassung EN 1993-1-5:2006 + AC:2009 + A1:2017 + A2:2019, Ausgabe Oktober 2019 EN 1993-1-5/NA, Nationaler Anhang zur EN 1993-1-5, Ausgabe Dezember 2010

EN 1993-1-9, Eurocode 3: Bemessung und Konstruktion von Stahlbauten - Teil 1-9: Ermüdung; Deutsche Fassung EN 1993-1-9:2006 + AC:2009, Ausgabe Dezember 2010 EN 1993-1-9/NA, Nationaler Anhang zur EN 1993-1-9, Ausgabe Dezember 2010